

LHC-ATLAS実験における 標準模型Higgs粒子の $t\bar{t}H$ 生成過程の探索



大川真耶、江成祐二、増渕達也、

田中純一、浅井祥仁



東京大学理学系研究科物理学専攻

素粒子物理国際センター(ICEPP)

アウトライン

- 導入
- $t\bar{t}H, H \rightarrow W^+W^-$ チャンネル
 - 概要
 - 事象選択
 - 背景事象
 - 結果
- まとめ

導入

- LHC実験において126GeV程度のヒッグス粒子を発見！

→今後はヒッグス粒子の性質解明に焦点が移る

- ttHプロセス

- Top-Yukawa結合定数の直接測定が可能！

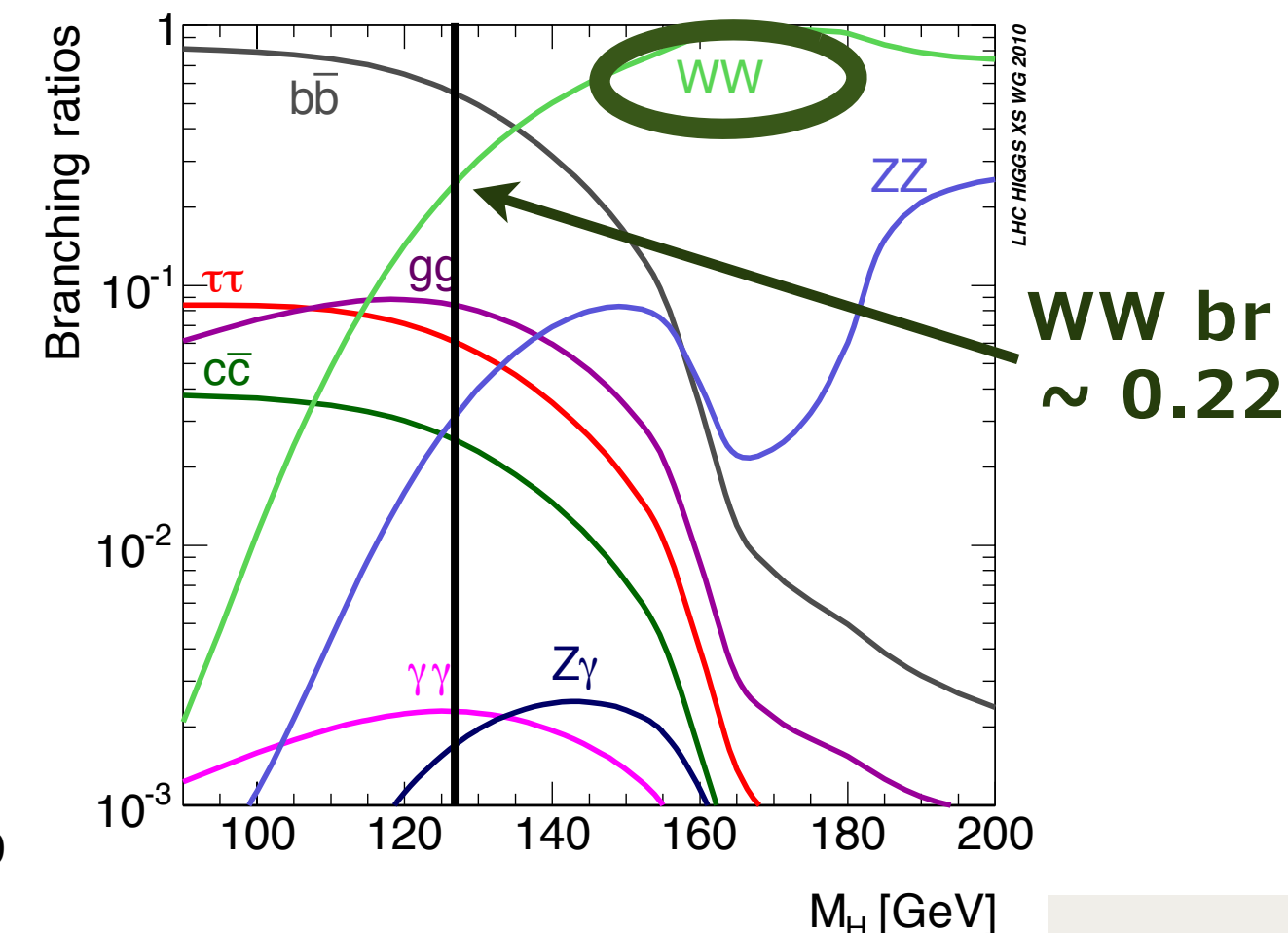
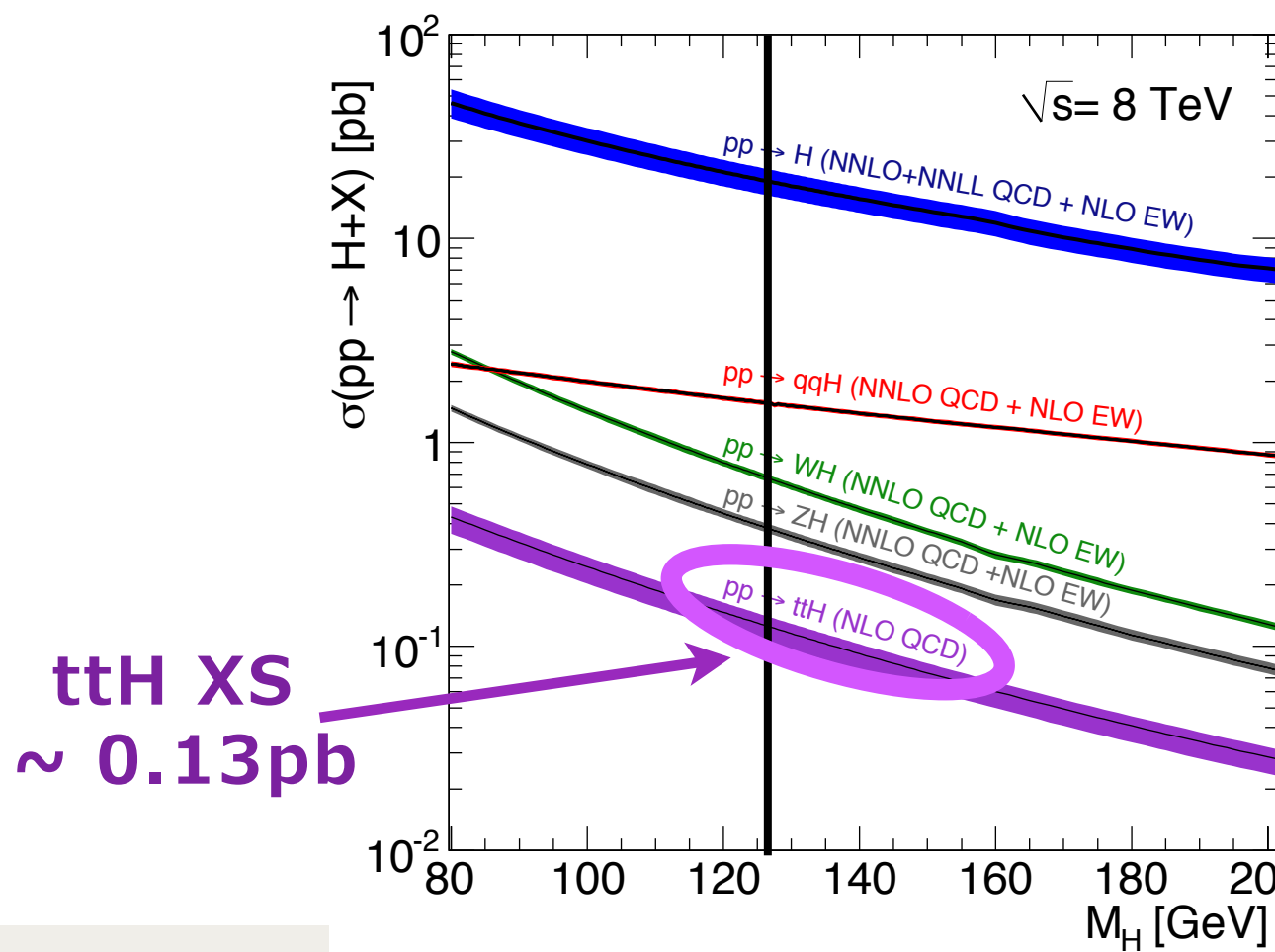
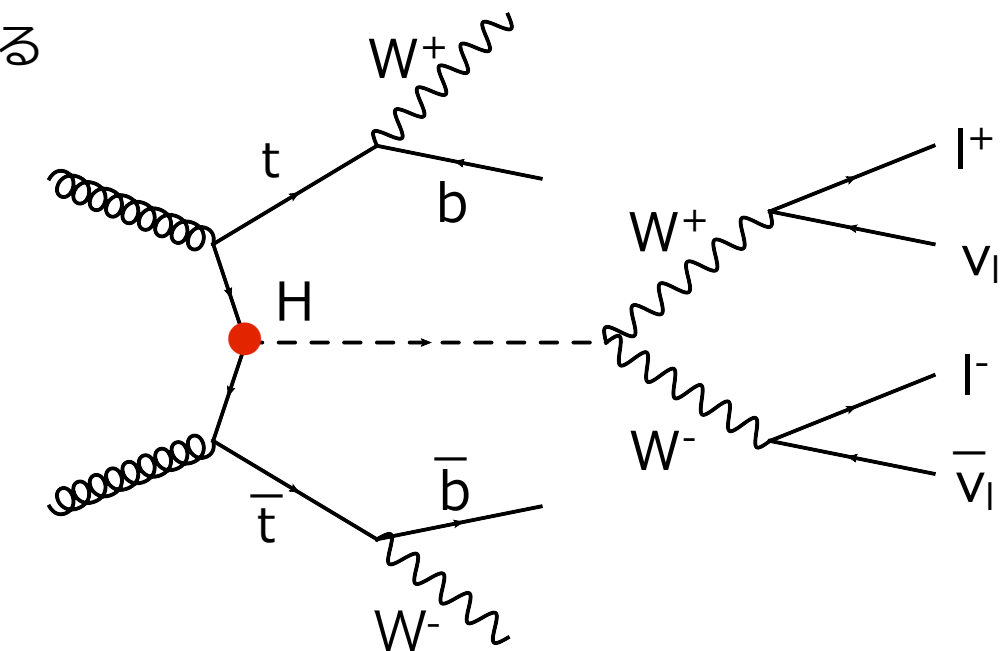
- 散乱断面積が小さい

- H->WW崩壊モード

- 崩壊分岐比がH->bbに次いで大きい

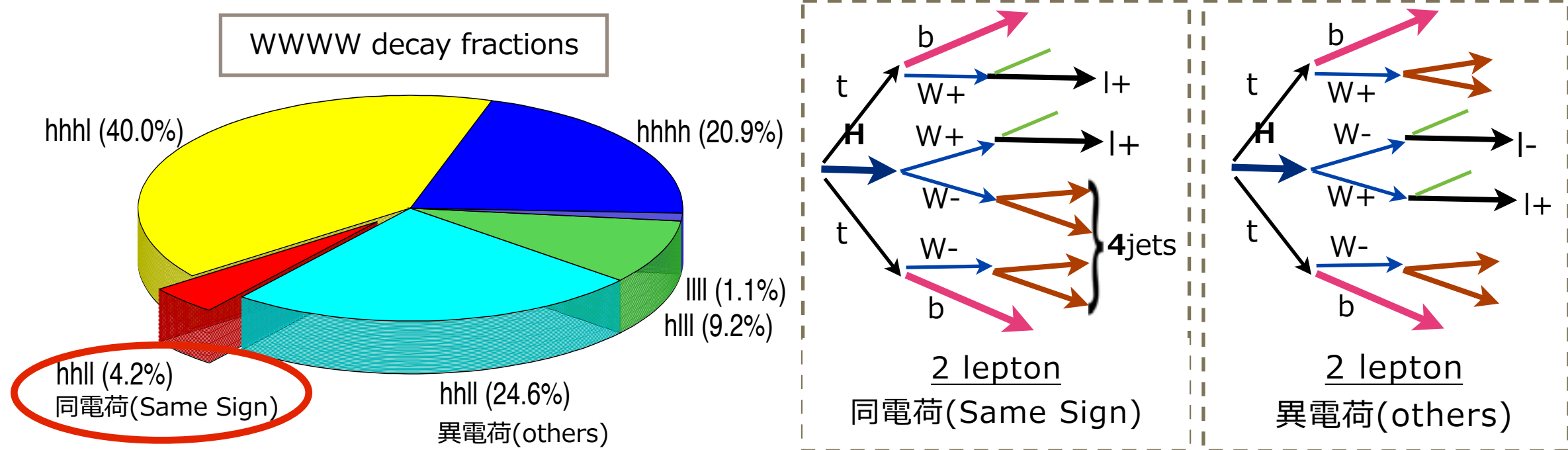
- H->bbと比較してQCD背景事象が少ない

- 終状態にニュートリノ（質量再構成が困難）→カット&カウント

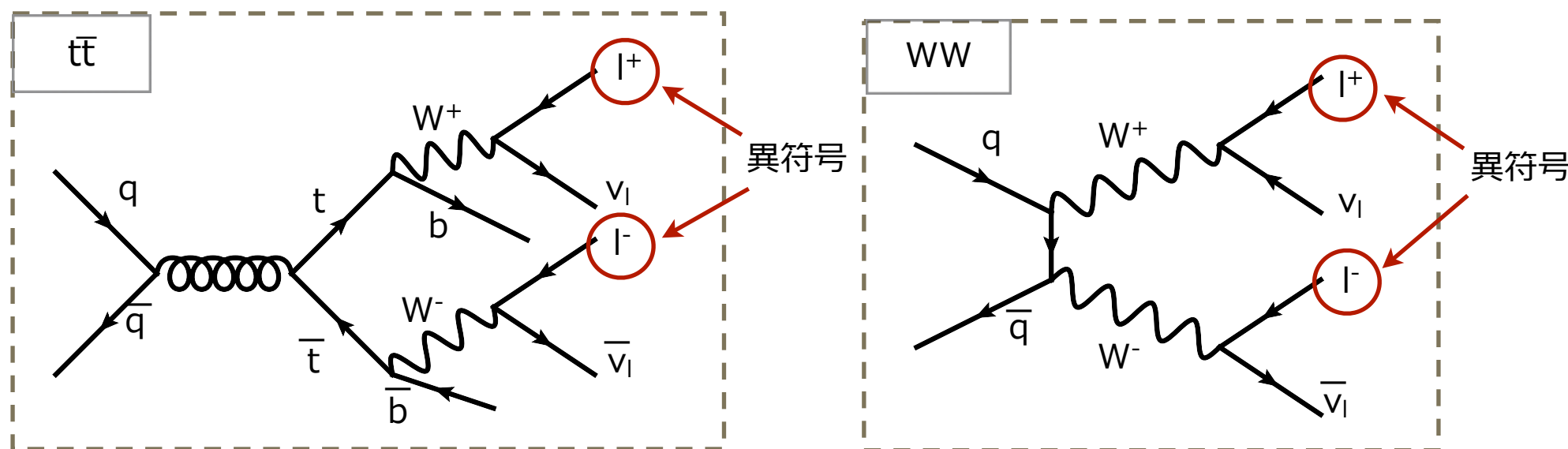


ttH, H->WWチャンネルの概要

- 2つのtop quarkは100% Wbに崩壊 ($ttH \rightarrow Wb\ Wb\ WW$)
- 終状態は4つのWの崩壊に応じて決まる

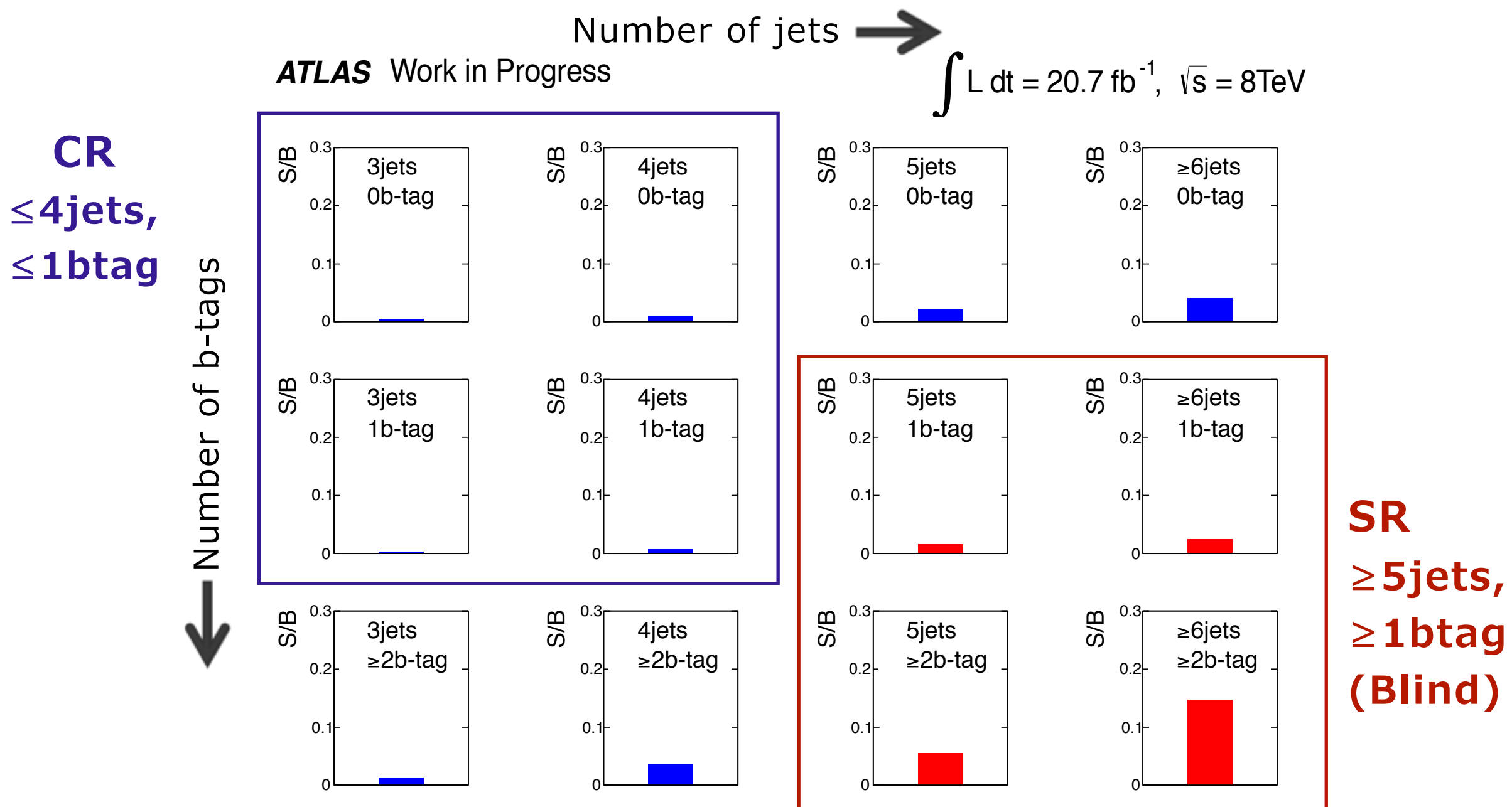


- 同電荷 (Same Sign) 2 leptonチャンネルを採用 ※今回は $\mu\mu$ チャンネルにフォーカス
 - トポロジー：2つのlepton + 2つのb-jetを含む6つのjet
 - Higgs由来のレプトンを1つ、top由来のレプトンを1つ取ってくるため
質量再構成はできないが背景事象 ($t\bar{t}$, diboson) の大幅な削減が可能



事象選択 | Same Sign 2 lepton チャンネル

- トポロジー：2つのlepton + 2本のb-jetを含む6本のjet
 - シングルレプトントリガー ($pT > 24\text{GeV}$, isolation)
 - 2つの同電荷 (Same Sign) のHigh- pT ($pT > 25\text{GeV}$) レプトン
 - 3つめのレプトン ($pT > 25\text{GeV}$) をveto - $t\bar{t}Z \rightarrow 2b\ 3l\ 2v\ 2j$, $t\bar{t}W \rightarrow 2b\ 3l\ 3v$ 等の背景事象を削減
- jet/b-tag の数でカテゴリ分け ... Sensitivityの向上
 - 5本以上のjet, 1本以上のb-jets - S/Bの良い領域を採用



背景事象

- 3つのカテゴリに分類される

1) true same sign 2 leptons

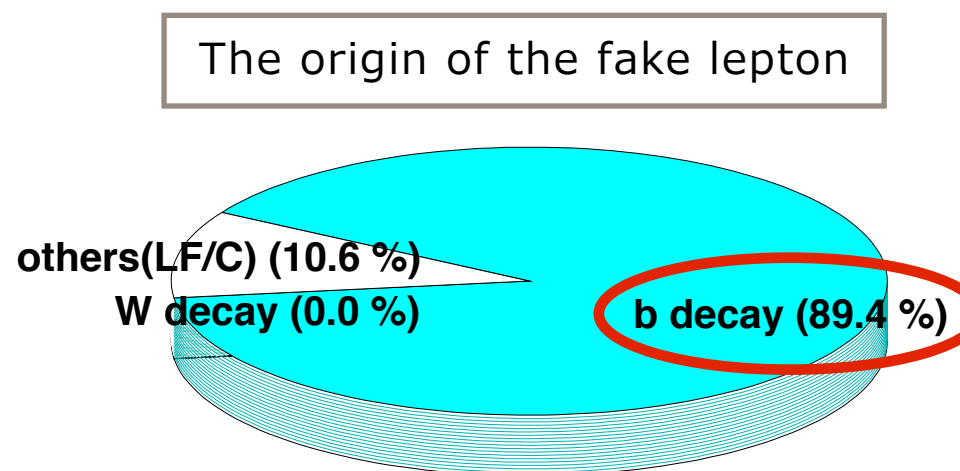
- $t\bar{t}+V$ ($t\bar{t}W, t\bar{t}Z$) が主（生成断面積は非常に小さい）
- MCで評価（irreducible, 基本的な事象選択では落とせない）

2) charge mis-ID背景事象(電荷誤同定)

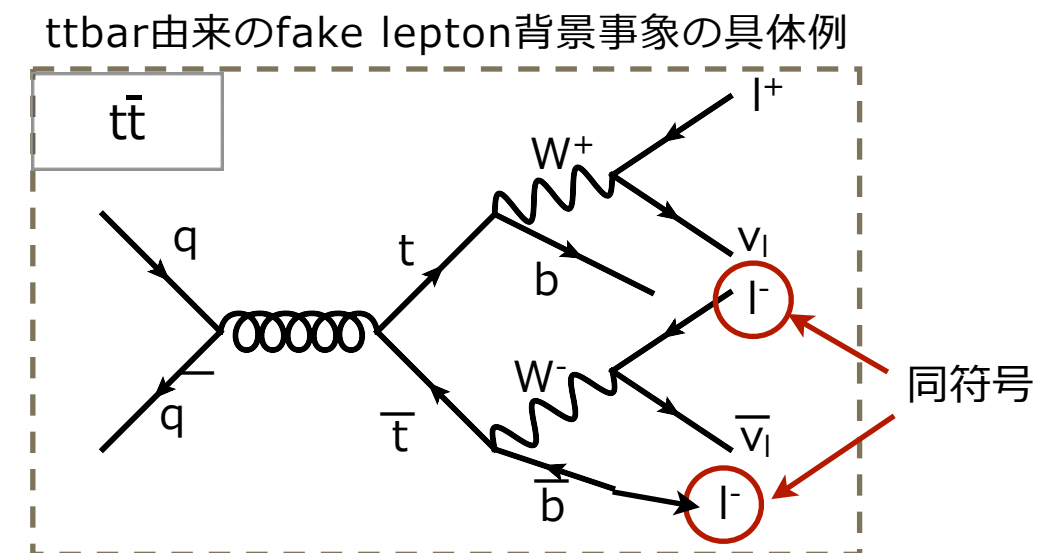
- 異符号の2つのレプトンのうち一方の電荷が誤同定された事象
- $\mu\mu$ チャンネルでは無視できる（muonの電荷誤同定率～0.01%）

3) Fake lepton背景事象 ($t\bar{t}$)

- leptonの誤同定起源の背景事象
- シミュレーションでleptonの誤同定率を測定するのは不定性が大きいため困難
 - 実データ（Matrix Method）を使って見積もりを行う ※詳細は次ページ
- Fake leptonの起源： $t\bar{t}$ semi-leptonic b-decay 由来のレプトン
 - $t\bar{t}$ MCのtruth情報を用いてFake leptonの起源をチェック



fake lepton背景事象
の見積もりが鍵!!



Fake lepton背景事象の見積もり

● Fake lepton背景事象 ... Matrix Method (full data-driven)

- ▶ real lepton likeな“tight lepton”と jet likeな “loose lepton”という2種類のレプトンを定義

Tight : signal requirementを満たすレプトン
 Loose : Tight leptonのisolationを反転させたもの

- ▶ 以下の行列式を使ってSRに残るFake lepton事象の数を見積もる

$$\begin{bmatrix} N_{TT} \\ N_{TL} \\ N_{LT} \\ N_{LL} \end{bmatrix} = \begin{bmatrix} \epsilon_{r1}\epsilon_{r2} & \epsilon_{r1}\epsilon_{f2} & \epsilon_{f1}\epsilon_{r2} & \epsilon_{f1}\epsilon_{f2} \\ \epsilon_{r1}(1-\epsilon_{r2}) & \epsilon_{r1}(1-\epsilon_{f2}) & \epsilon_{f1}(1-\epsilon_{r2}) & \epsilon_{f1}(1-\epsilon_{f2}) \\ (1-\epsilon_{r1})\epsilon_{r2} & (1-\epsilon_{r1})\epsilon_{f2} & (1-\epsilon_{f1})\epsilon_{r2} & (1-\epsilon_{f1})\epsilon_{f2} \\ (1-\epsilon_{r1})(1-\epsilon_{r2}) & (1-\epsilon_{r1})(1-\epsilon_{f2}) & (1-\epsilon_{f1})(1-\epsilon_{r2}) & (1-\epsilon_{f1})(1-\epsilon_{f2}) \end{bmatrix} \begin{bmatrix} N_{RR} \\ N_{RF} \\ N_{FR} \\ N_{FF} \end{bmatrix}$$

測定可能量 **測定可能量**

- ▶ ϵ_f : レプトンの誤同定率 (Fake Rate) / ϵ_r : 同定率 (Real Efficiency) → 青の行列に代入
- ▶ Nの添字のTはtight lepton、Lはloose leptonに対応 (添字はpt order)
ex. N_{TT} : tight leptonを2つ含む事象の数
- ▶ 赤の行列に青の逆行列をかけることでreal leptonとfake lepton背景事象の数を見積もる
- ▶ $N_{RR}, N_{RF}, N_{FR}, N_{FF}$ はそれぞれreal-real/real-fake/fake-real/fake-fakeイベントの数

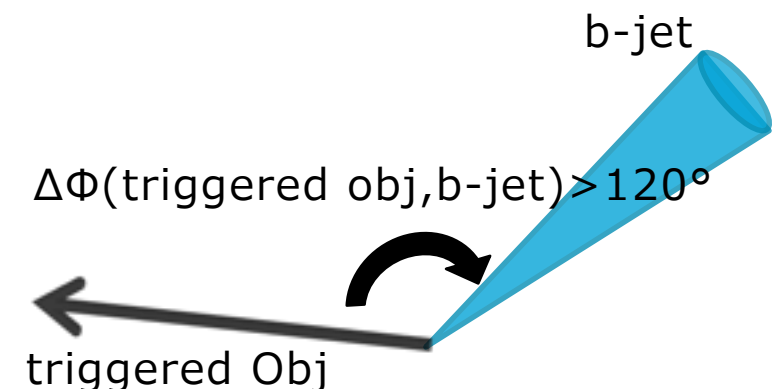
Real : W/Zボソン由来の“本物”的レプトン
 Fake : b quarkのleptonic decay由來のレプトン

- ▶ tight-tight regionに残る $N_{RF}+N_{FR}+N_{FF}$ のイベント数を見積もる

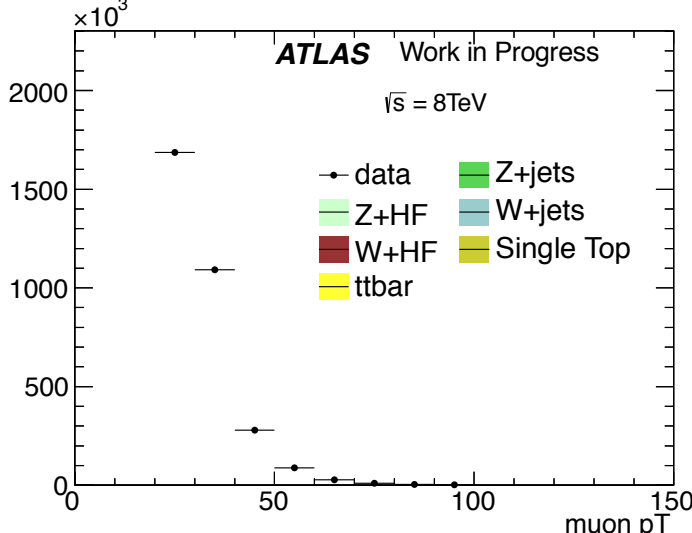
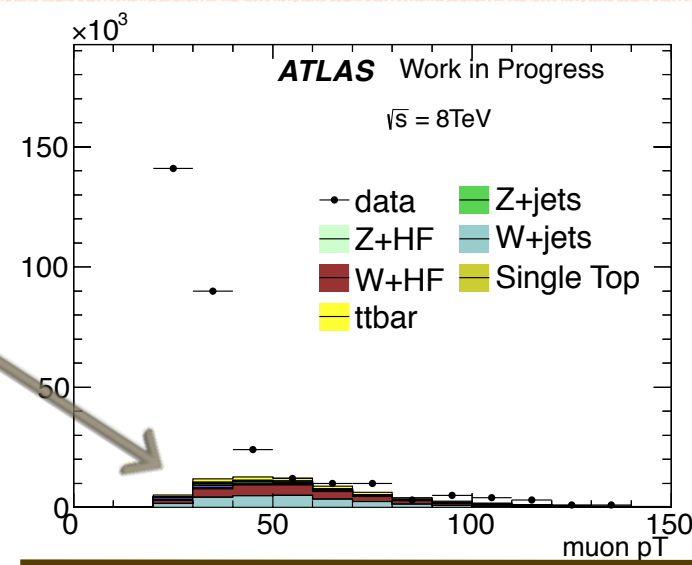
Fake lepton背景事象の見積もり

誤同定率 (Fake Rate)

- leptonic b decay 由来のレプトンの誤同定率をデータから見積もる
- bb イベントを用いて測定**
 - シングルレプトントリガーとマッチするObjectが1つ以上ある
 - triggered objectの逆サイドにb-jetがある
- bb イベントの中にあるloose lepton/tight leptonの数を比較**

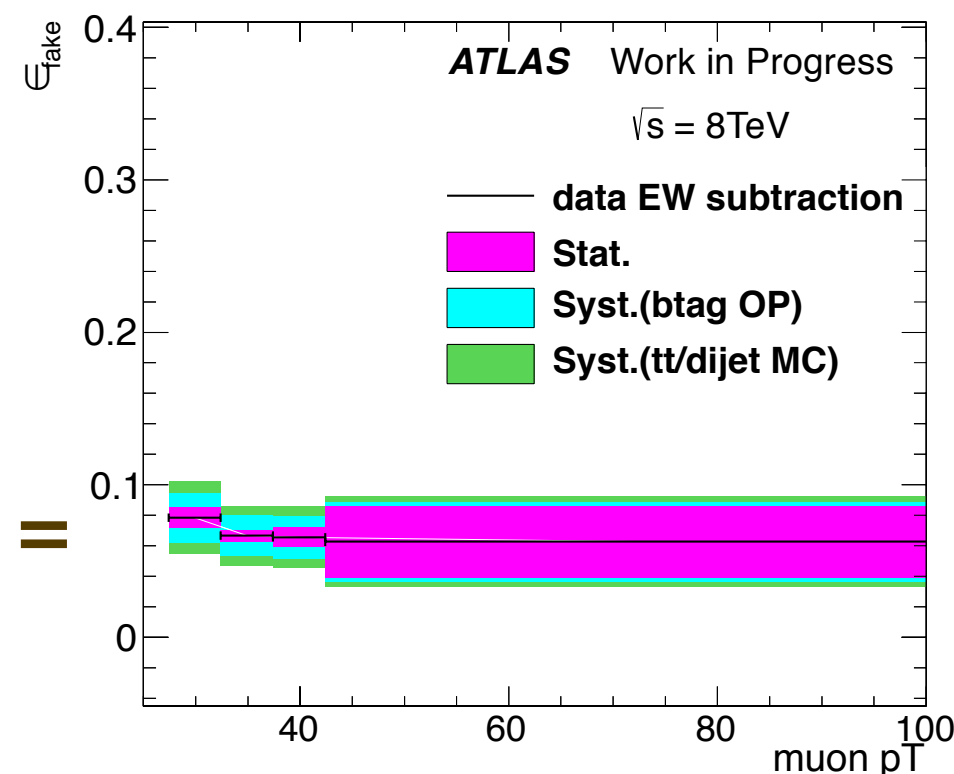


$$\text{Fake Rate} = \frac{N_{\text{tight lepton}} \text{ in } 2 \text{ b}\bar{\text{b}} \text{ event}}{(N_{\text{loose lepton}} + N_{\text{tight lepton}}) \text{ in } \text{b}\bar{\text{b}} \text{ event}}$$



EW contamination
→ subtract!!

$$\text{Fake Rate} =$$



Fake Rateの由来の系統誤差 ~29 %

内訳：2種類のSource

✓ b-tag efficiency ~19 %

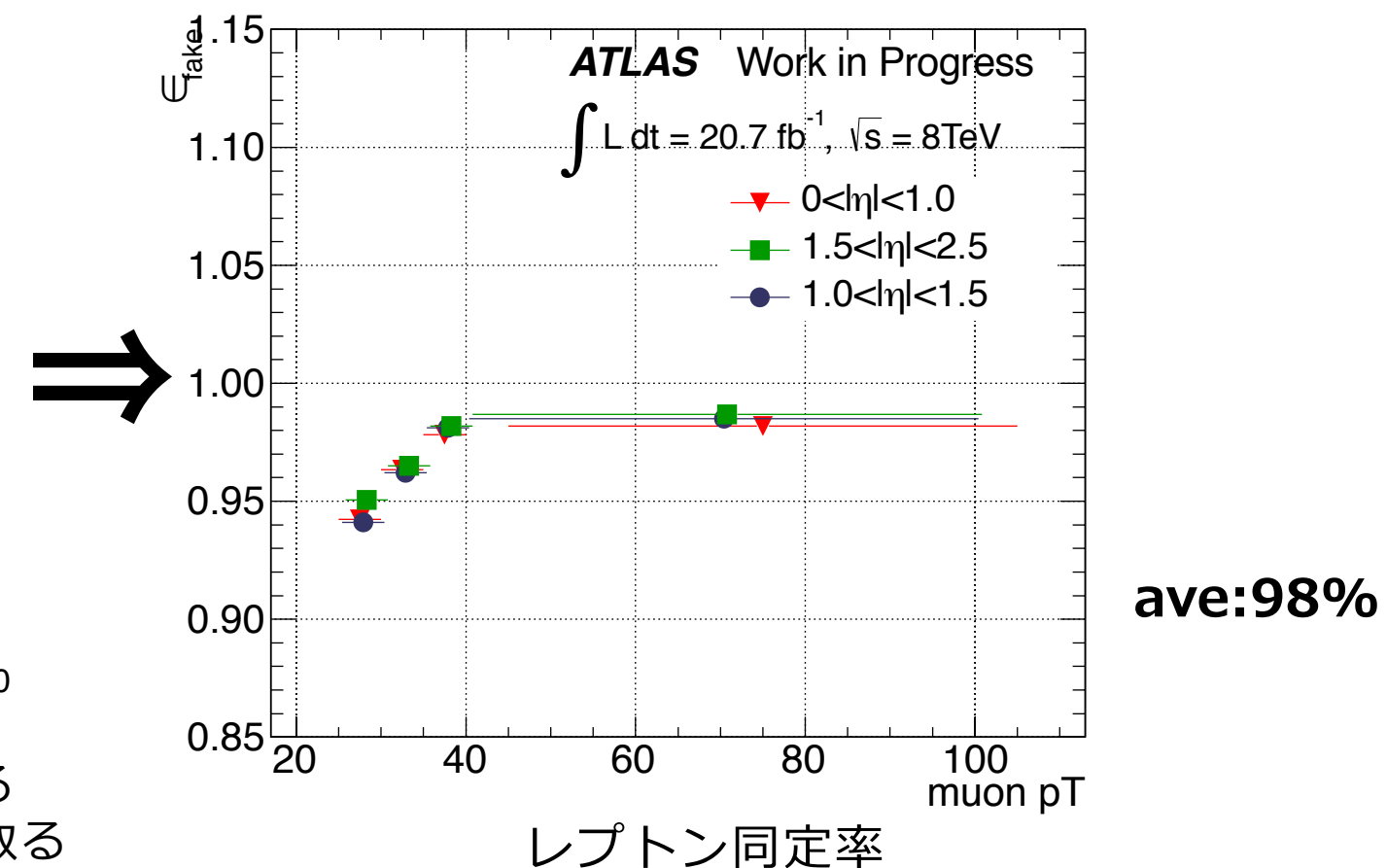
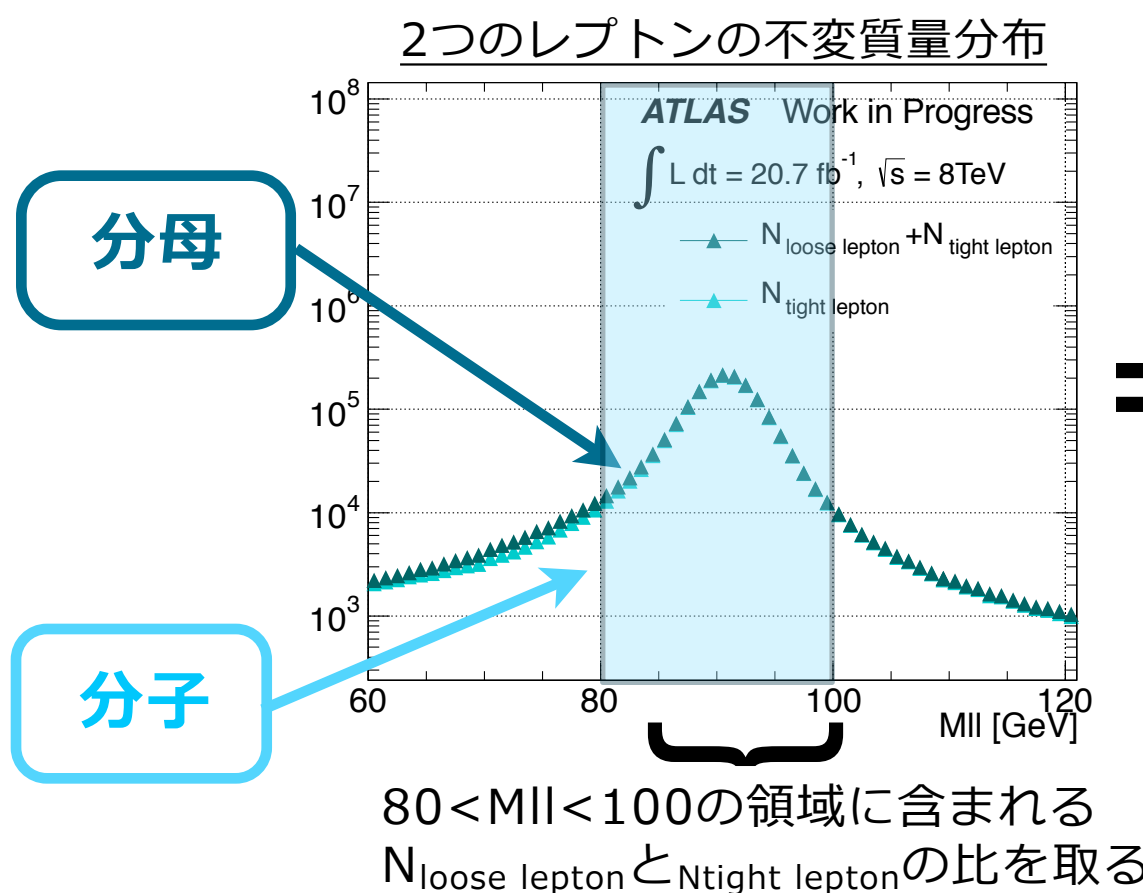
✓ MC (tt vs dijet) ~23 %

Fake lepton背景事象の見積もり

同定率 (Real Efficiency)

- $Z \rightarrow l\bar{l}$ イベント (high purity lepton sample) からtag and probe 法を用いて測定
 - ✓ tight leptonを1つ選び、これをtagとする
 - ✓ tight leptonと反対の電荷を持つlepton (loose+tight) を探し、これをprobeとする
 - ✓ 2つのレプトンの不变質量が $80 < M_{l\bar{l}} < 100$ GeVを満たすことを要求

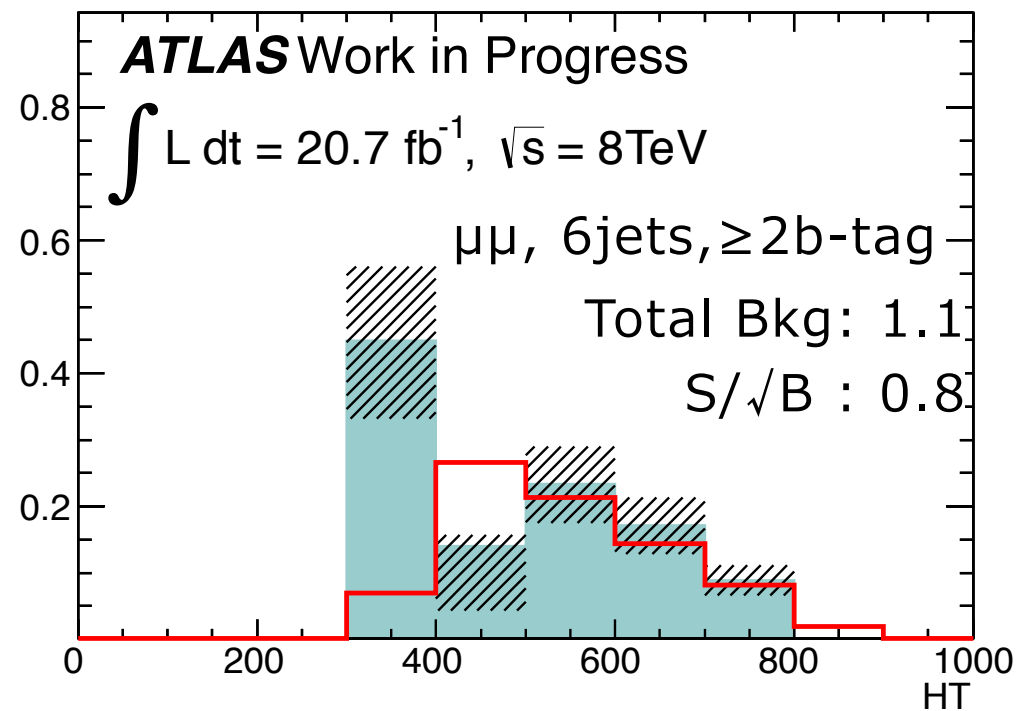
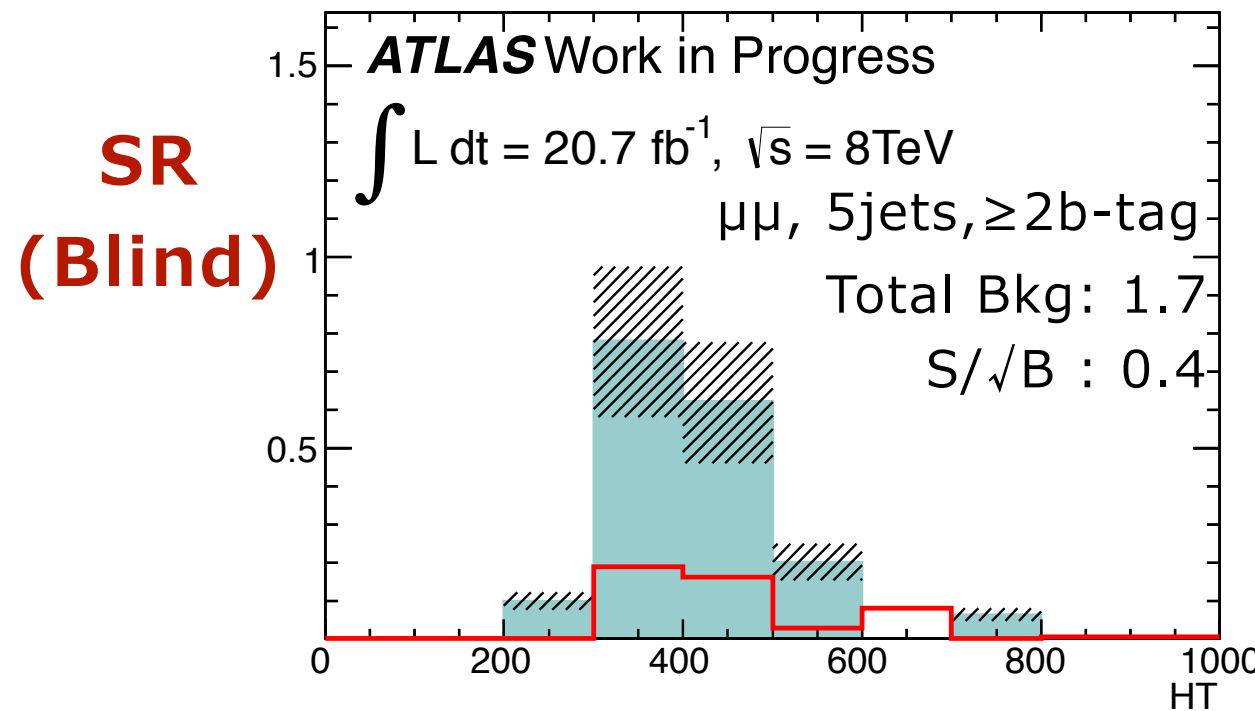
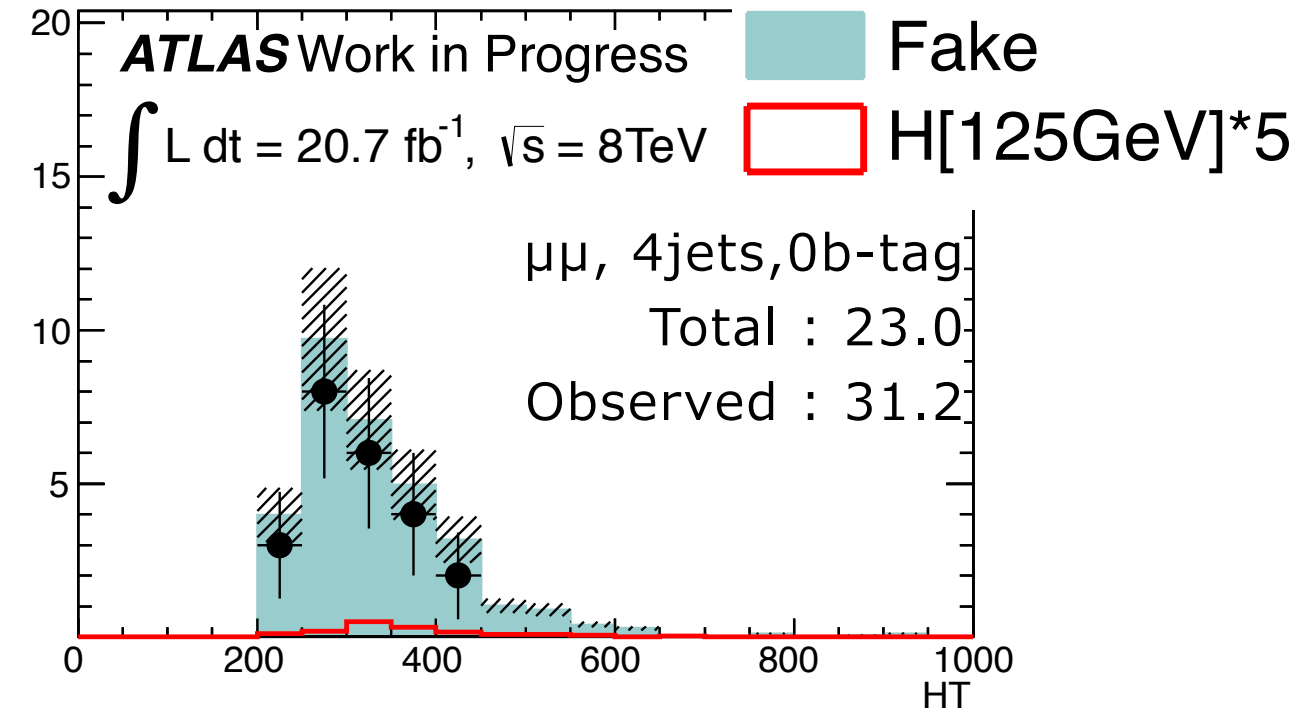
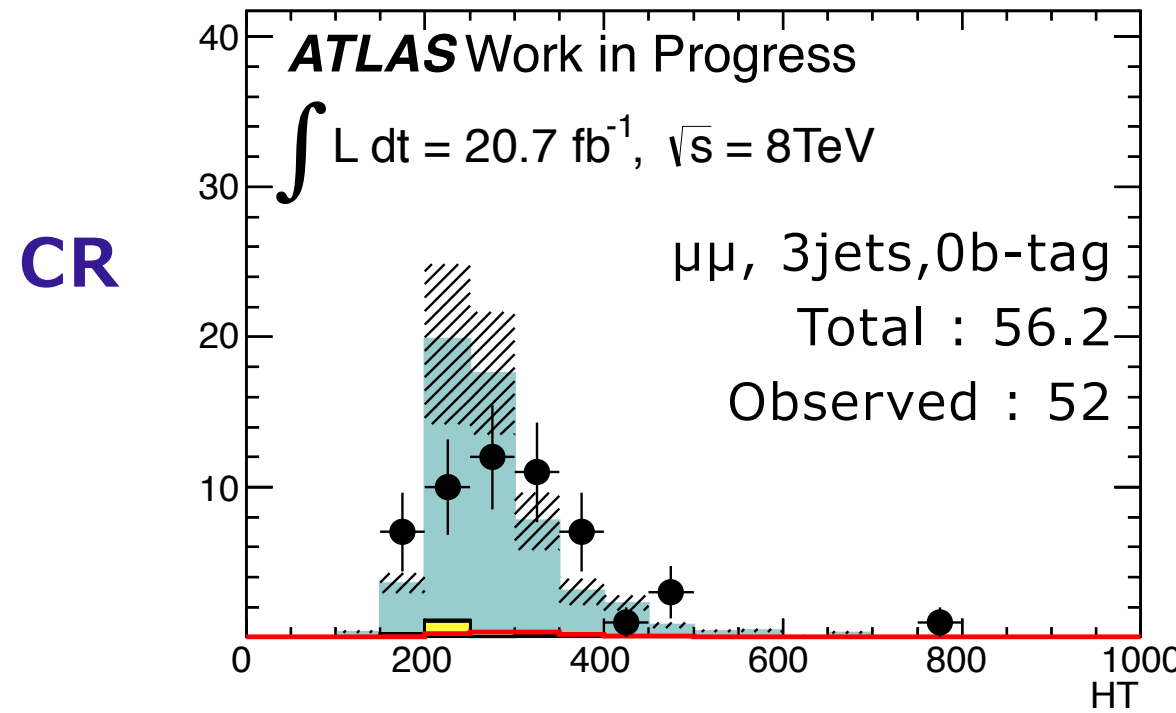
$$\text{Real Efficiency} = \frac{\text{Number of tight lepton}}{(\text{Number of loose lepton} + \text{Number of tight lepton})}$$



- 測定に使ったのはDataのみ
- Real Efficiency由来の系統誤差 ~ 0.1% (無視できるほど小さい)

結果 | HT分布

- 事象選択後のHT分布 (HT : the scalar sum of pT of the leptons/jets+ MET)



系統誤差

- Jet - energy scale, resolution, b-tagging scale factor
- muon - energy scale, resolution, efficiency
- Luminosity
- Theory - cross section, Scale uncertainty, BR, PDF+ a_s
- Fake Rate - di-jet/ttbar(SR) MC, b-tag efficiency

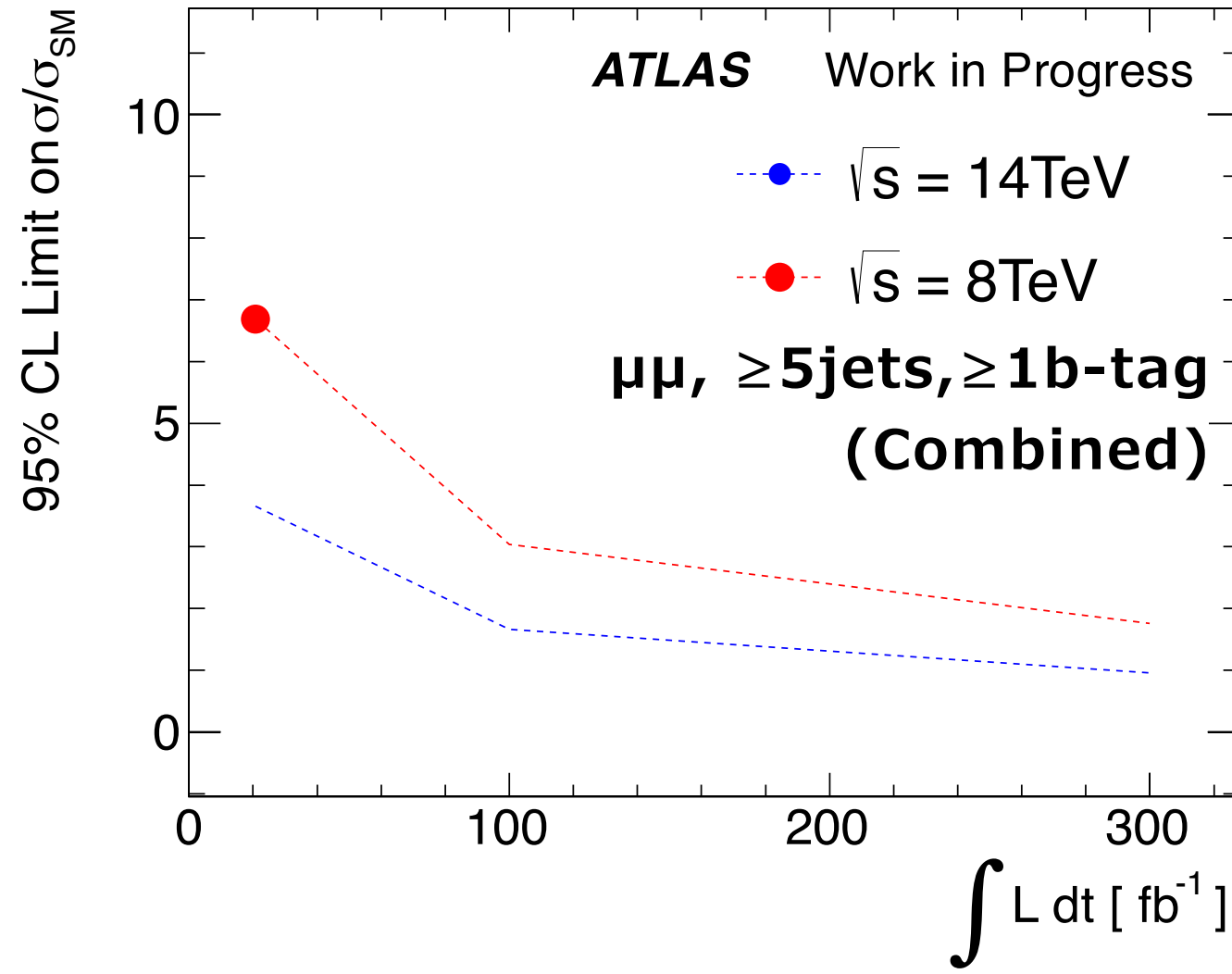
Systematic	Signal	$t\bar{t}V$	Fake Bkg
Jet Energy Scale	25%	21%	-
b-tag efficiency	19%	16%	-
Muon id efficiency	1%	1%	-
Luminosity	2.8%	2.8%	-
Theory	13%	30%	-
Fake Rate	-	-	29%

- 系統誤差の主な起源
 - Signal
 - ✓ Jet Energy Scale
 - ✓ b-tag scale factor
 - Background
 - ✓ Fake Rate

結果 | expected limit

- 8TeV, 20fb^{-1} で期待されるLimit（制限）を算出した（counting）

→ **95% CL Limit on $\sigma/\sigma_{\text{SM}} \sim 6.7$ @ $m_H = 125\text{GeV}$**



- 100,300 fb^{-1} におけるLimitは20.7 fb^{-1} から外挿している
 - ◆ 14TeVにおけるLimitの算出はFakeは全て $t\bar{t}$ 由来であるという仮定の下行った
- $e\mu$ チャンネル : signalは $\mu\mu$ チャンネルの約 1.8倍、background 約 2倍
 - 3つのチャネル ($e\mu/\mu\mu/ee$) をCombineすればさらなるSensitivityの向上が期待できる
- $H \rightarrow WW \rightarrow \text{leptons}$ チャンネルをCombine
 - 300 fb^{-1} のデータを用いて 3σ を超える感度で $t\bar{t}H$ プロセスを発見できる見込み

まとめ

- LHC-ATLAS実験において2012年に取得された重心エネルギー8TeV, 積分ルミノシティ 20fb^{-1} のデータを用いて $\text{ttH}, \text{H}\rightarrow\text{WW}$ モードでのヒッグス探索を行った
- 背景事象が少ない ttH ($\text{H}\rightarrow\text{WW}$) Same Sign 2 lepton モードに焦点をあて解析を行った
- $\mu\mu$ チャンネルではFake lepton背景事象が主
→ データを用いて見積もりを行った
- 事象選択・背景事象の見積もり手法を確立した
- 上限期待値：
 $95\% \text{ CL Limit on } \sigma/\sigma_{\text{SM}} \sim 6.7 @ m_H = 125 \text{ GeV}$
- Combineすれば2021年までに取得予定の 300fb^{-1} のデータを用いて
 $\text{H}\rightarrow\text{WW}$ モードで ttH プロセスを 3σ を超える感度で発見できる見込み

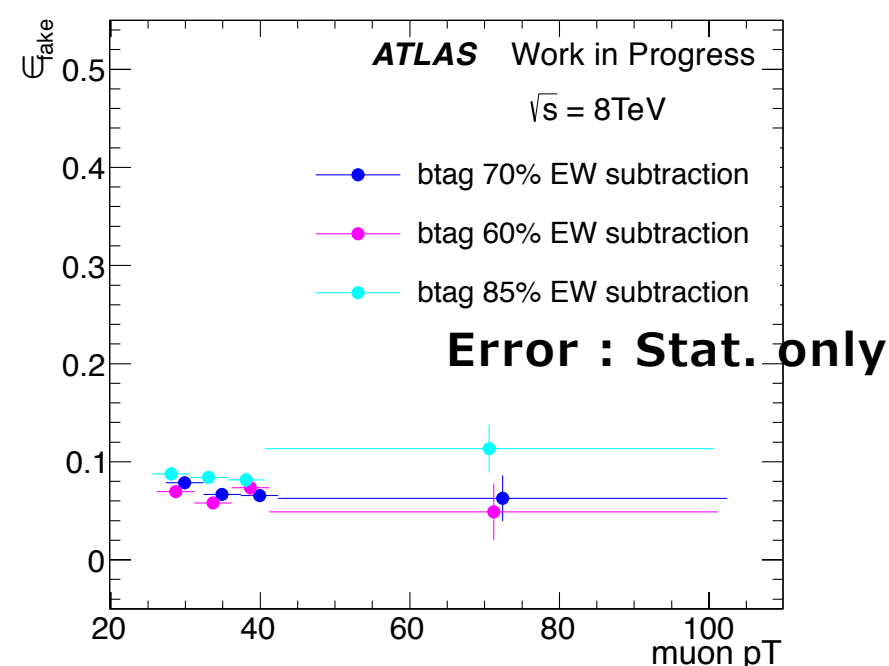
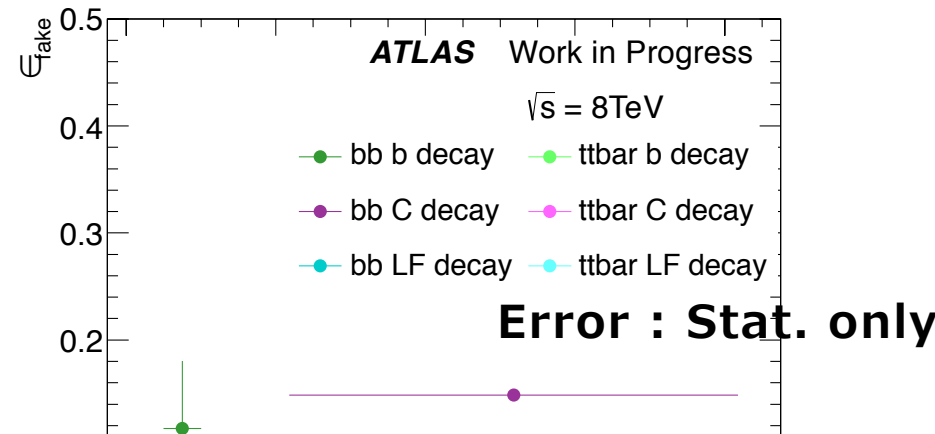


Backup

系統誤差 [Fake lepton背景事象]

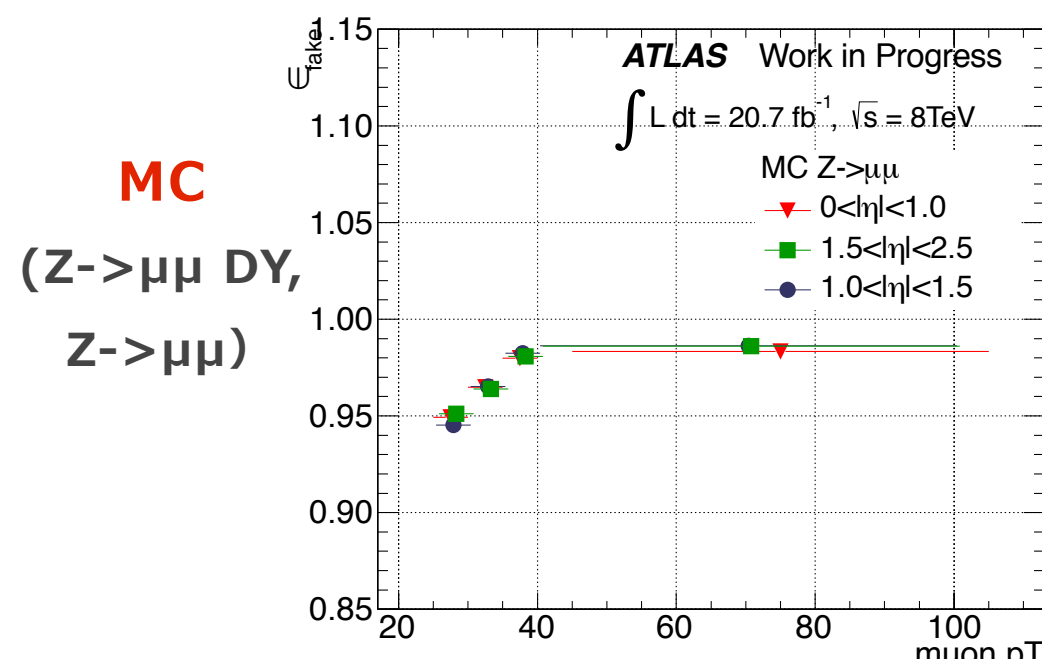
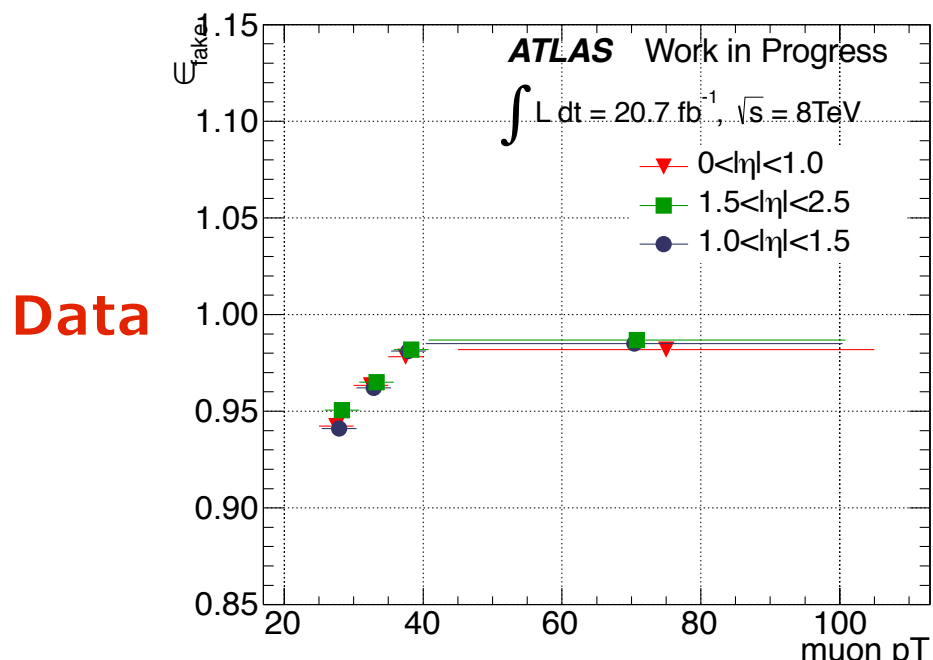
系統誤差 - 誤同定率 (Fake Rate)

- b-tag operating pointごとのFake Rateを測定
 - 実験的な誤差, b/C/LFのcomponentの差
 - dijet MC vs $t\bar{t}$ MC
 - truth informationを用いてvalidationを行った
- これらの差は系統誤差として最終結果に適用



系統誤差 - 同定率 (Real Efficiency)

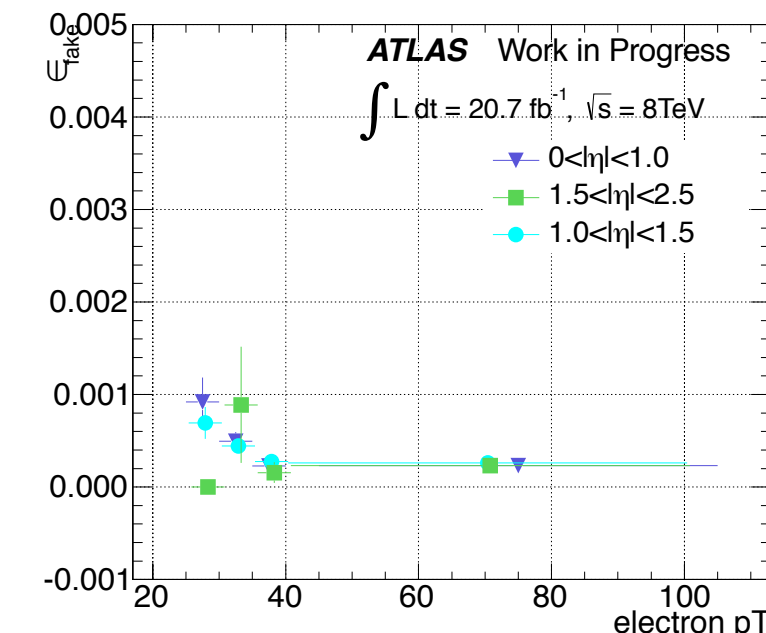
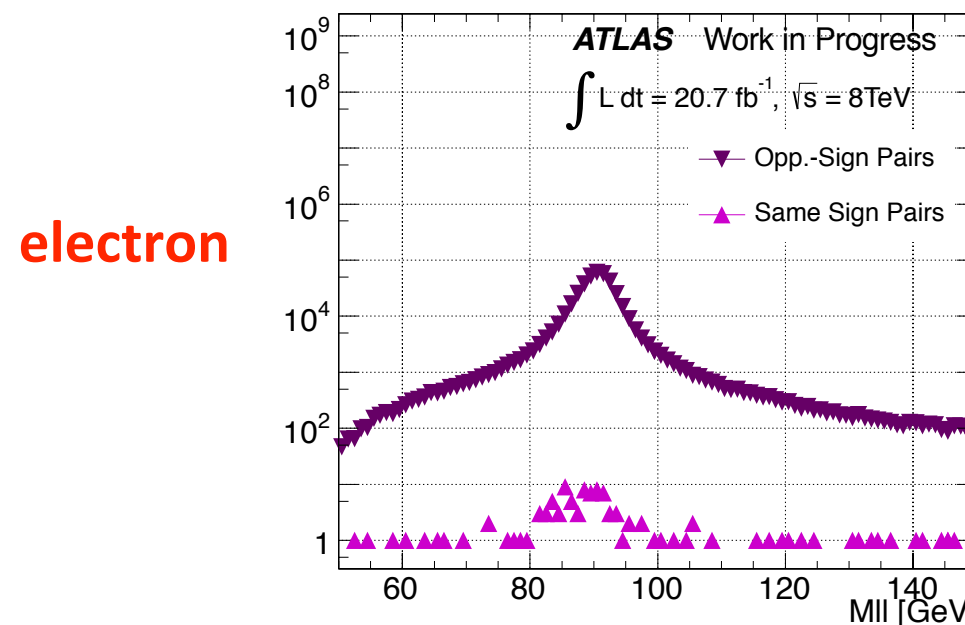
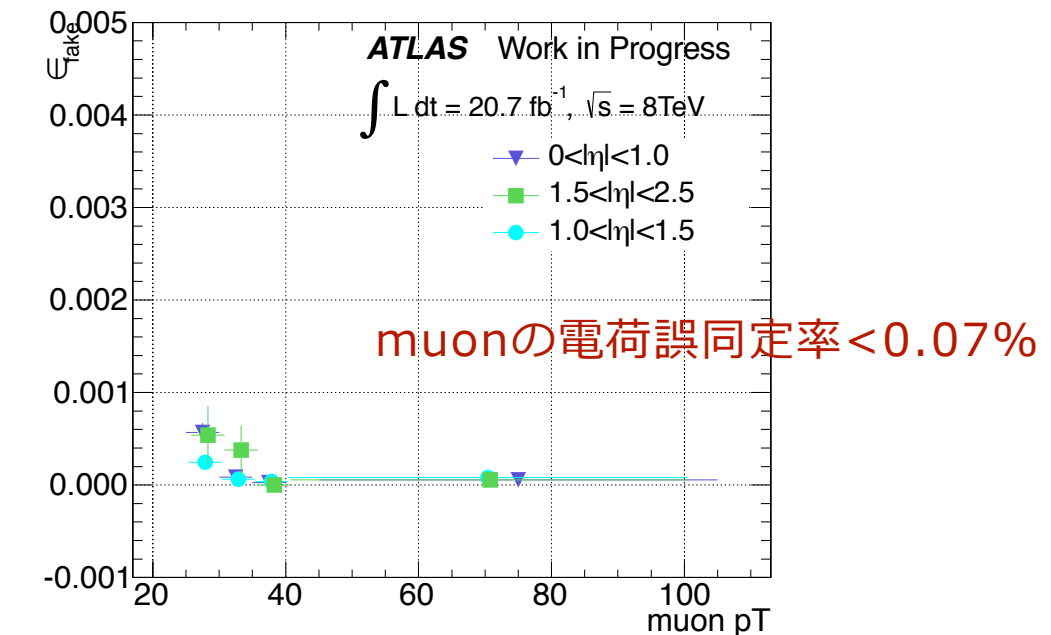
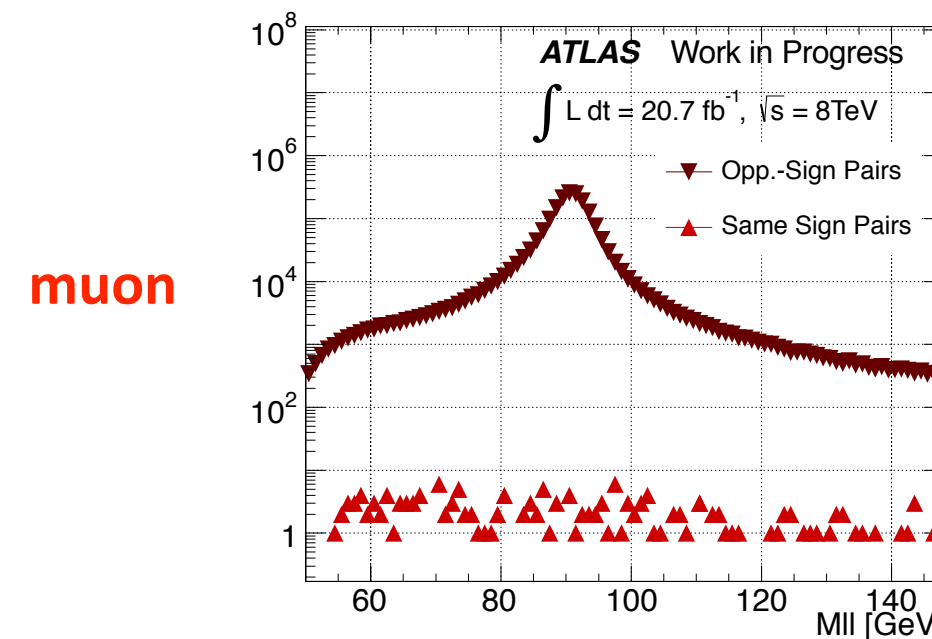
- Data vs MC ($Z \rightarrow \mu\mu$, $Z \rightarrow \mu\mu$ Drell-Yan)
 - MCサンプルを用いてReal Efficiencyを測定
- DataとMCの差は非常に小さい (<0.7%)
- 系統誤差として最終結果に適用しているが、寄与はほとんどない



charge mis-ID 背景事象

誤電荷同定率 (charge mis-ID rate)

- 異電荷 (Opposite Sign) / 同電荷 (Same Sign) 2lepton データサンプルを使用
- 同じeta binからきた2つのレプトンを要求し、 $N_{\text{ss}}/(N_{\text{os}}+2N_{\text{ss}})$ で charge mis-ID rate を求める
charge mis-ID 背景事象 : muonチャンネルでは無視できる。ee/eμ channelにのみ影響する

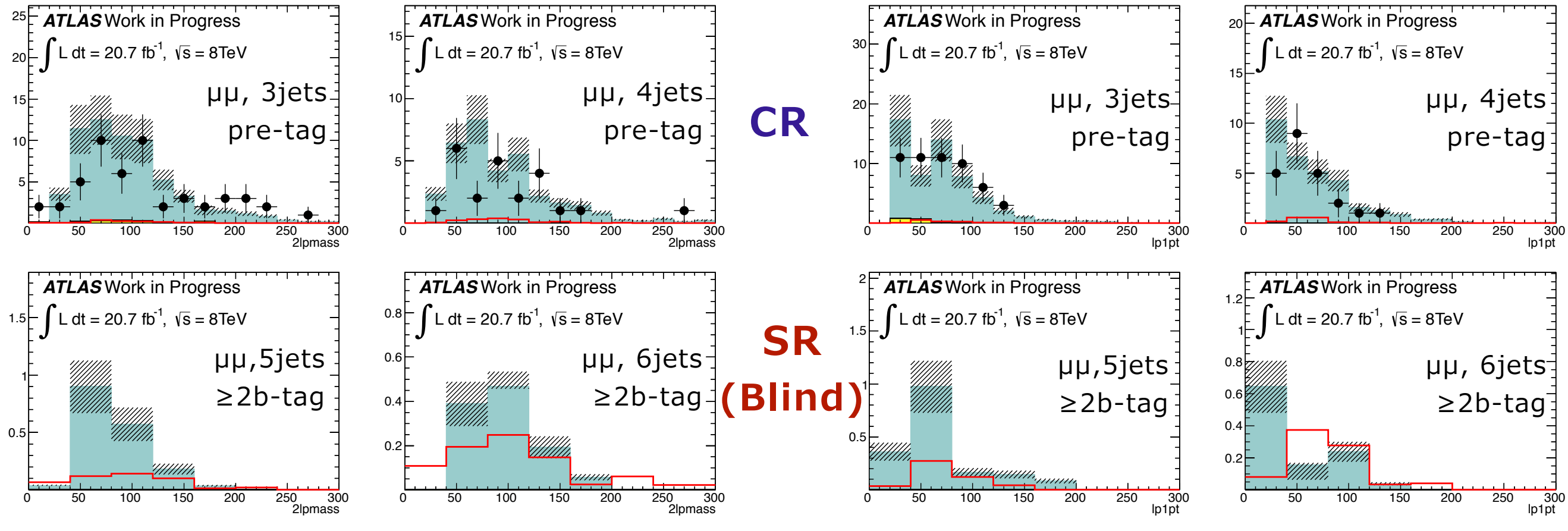


2つのレプトンの不变質量分布

charge mis-ID rate (in %)

結果 | 分布

- 事象選択後のMII分布, leading lepton pt分布



	signal	$t\bar{t}V$	Fakes	Total	Observed
CR	3jets,pre-tag	1.4	1.6	54.7	56.5
	4jets,pre-tag	1.6	0.0	31.2	31.2

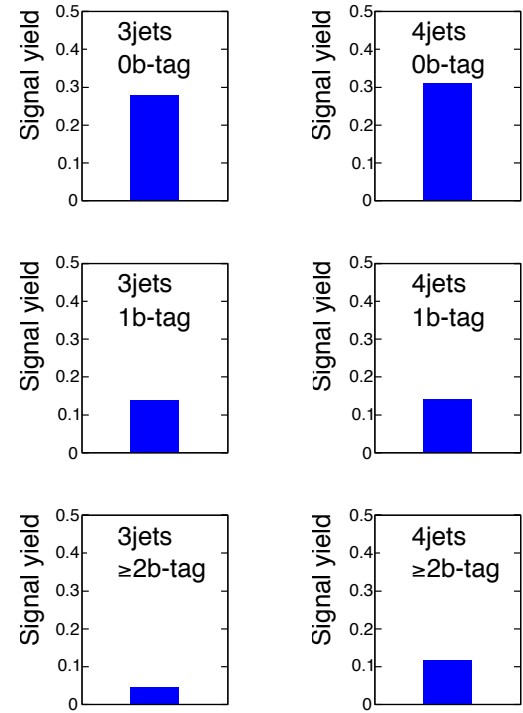
- data
- ttbarV
- Fake
- H[125GeV] *5

	Signal	$t\bar{t}V$	Fakes	Total	S/\sqrt{B}	S/B
5jets,2b-tag	0.5	0.0	1.7	1.7	0.4	0.3
6jets,2b-tag	0.8	0.0	1.2	1.1	0.8	0.7

結果 | S/\sqrt{B} , expected limit

- Expected number of Signal

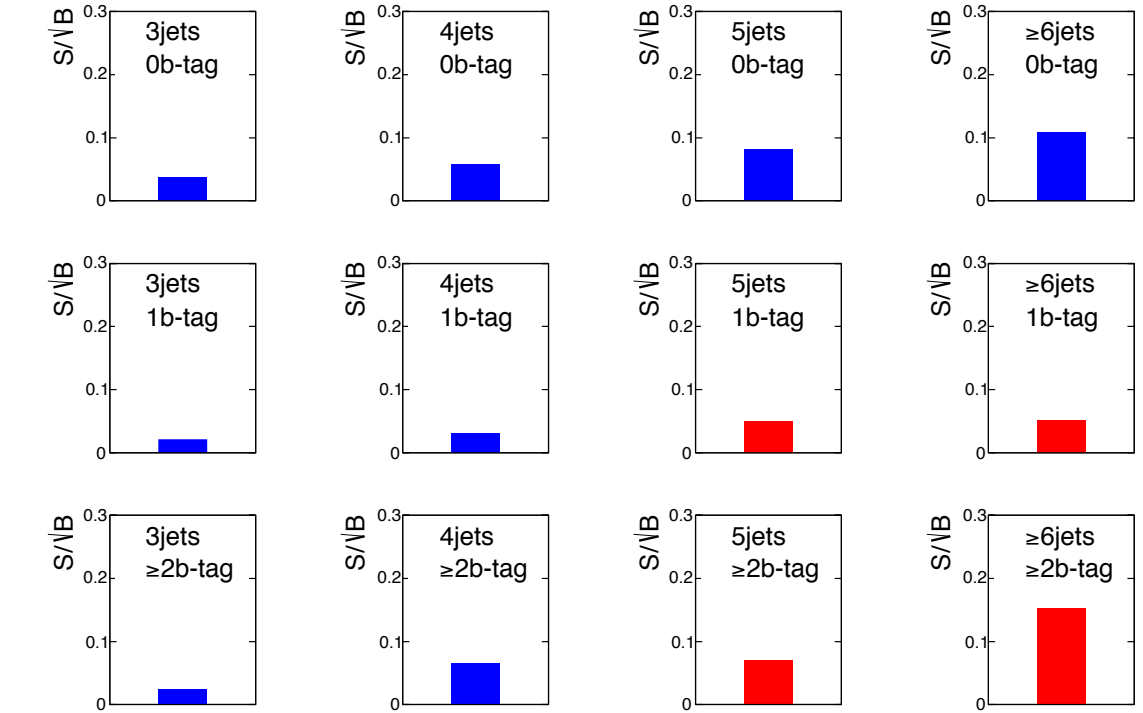
ATLAS Work in Progress



$\int L dt = 20.7 \text{ fb}^{-1}, \sqrt{s} = 8 \text{ TeV}$

- S/\sqrt{B}

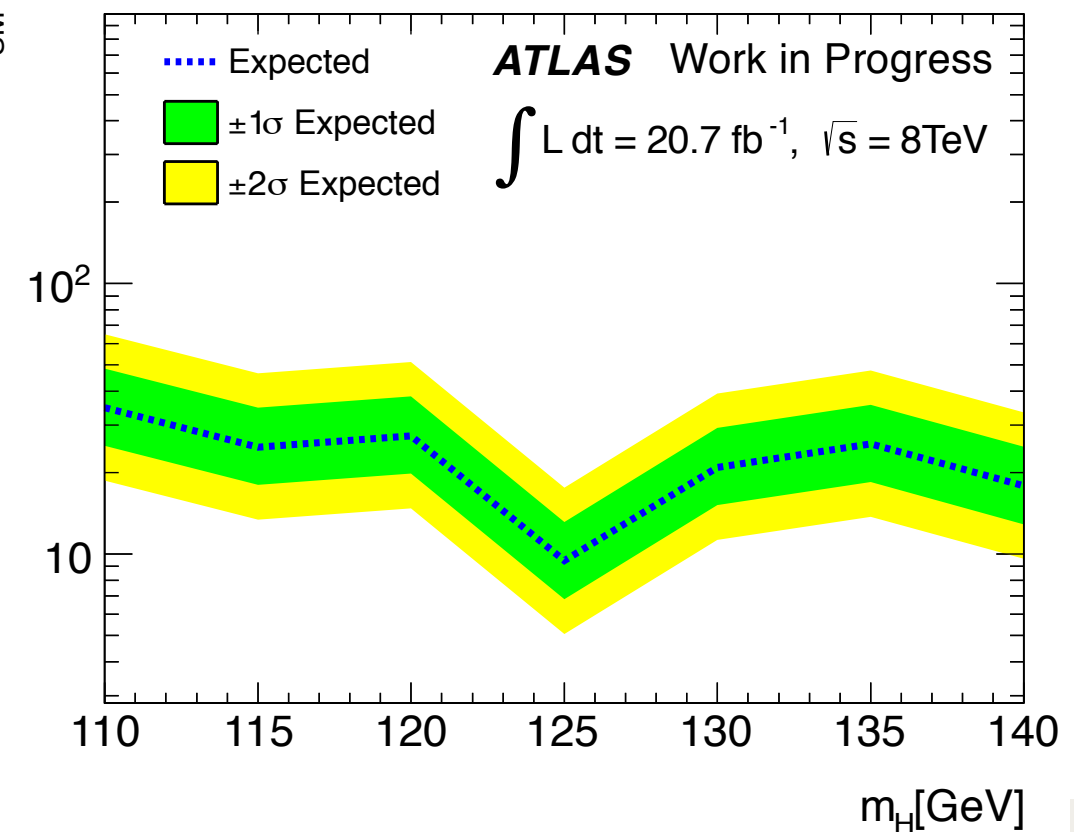
ATLAS Work in Progress



$\int L dt = 20.7 \text{ fb}^{-1}, \sqrt{s} = 8 \text{ TeV}$

- 前述の統計誤差を考慮し、8TeV, 20fb⁻¹で期待されるLimitを算出した
- 95% C.L. Limit on $\sigma/\sigma_{\text{SM}}$
~6.8@m_H = 125GeV

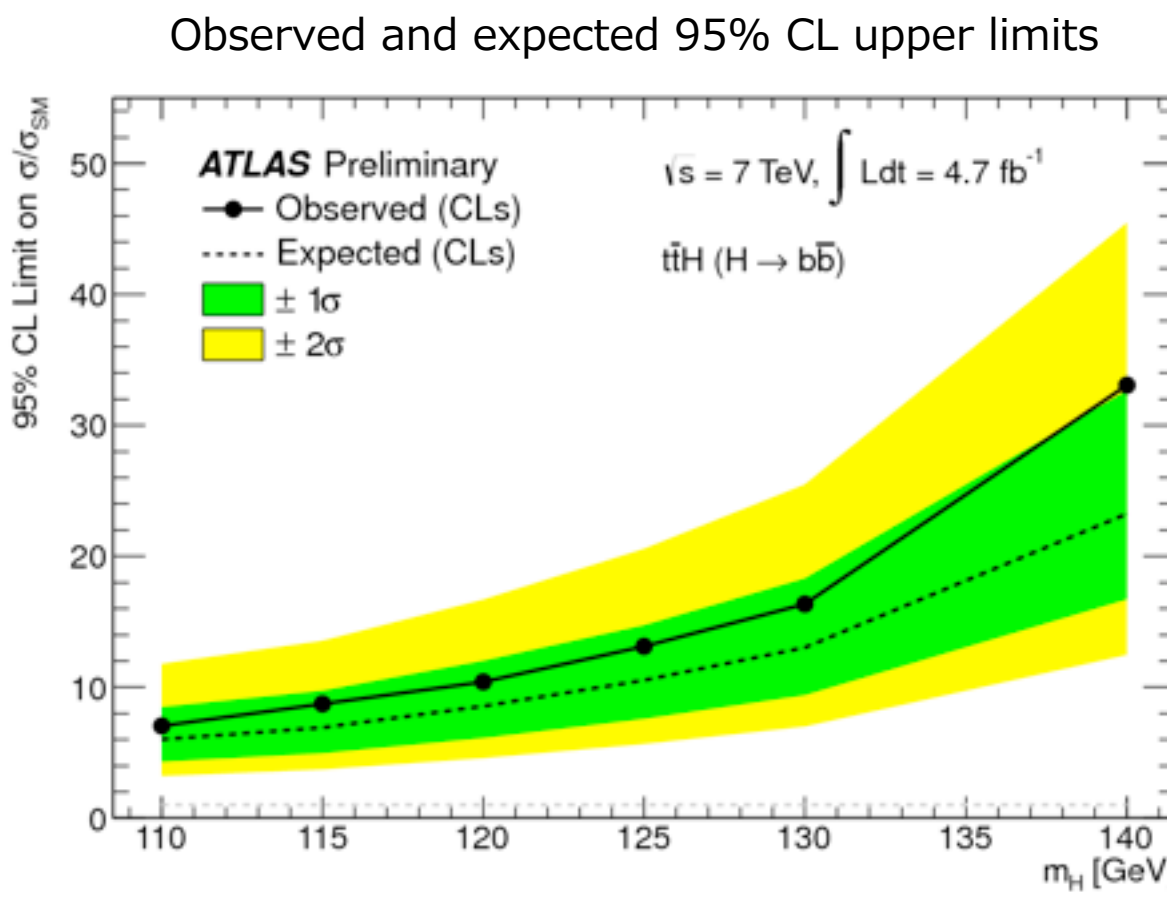
95% CL Limit on $\sigma/\sigma_{\text{SM}}$



ttH, H->bb/γγ 最新結果

ttH, H->bb 最新結果

- tt->semileptonicにfocusしている
- jet/b-jetの数によってSRを9つのトポロジーに分類し、最終的にcombineしている
- the primary discriminant variable : M_{bb}
- データは背景事象と無矛盾（超過なし）



ttH, H->γγ 最新結果

- tt->leptonic/hadronic両方を使っている
- leptonic channel ではsignal mass window(120-130GeV)で1 event観測 (hadronic channelでは0 event)
- Observed(Expected) Limit : 5.3(6.4)
- データは背景事象と無矛盾（超過なし）

